

Starkniederschlagshöhen und -spenden gemäß KOSTRA-DWD-2020

Rasterfeld 166100

(Zeile 166, Spalte 100)

Regenspende und Bemessungsniederschlagswerte in Abhängigkeit von Wiederkehrzeit T und Dauerstufe D

| Dauerstufe D | | Wiederkehrzeit T | | | | | | | | | | | | | | | | | |
|--------------|-----|------------------|------------|------|------------|------|------------|------|------------|-------|------------|-------|------------|-------|------------|-------|------------|-------|------------|
| | | 1 a | | 2 a | | 3 a | | 5 a | | 10 a | | 20 a | | 30 a | | 50 a | | 100 a | |
| min | Std | mm | l / (s ha) | mm | l / (s ha) | mm | l / (s ha) | mm | l / (s ha) | mm | l / (s ha) | mm | l / (s ha) | mm | l / (s ha) | mm | l / (s ha) | mm | l / (s ha) |
| 5 | | 7,1 | 236,7 | 8,7 | 290,0 | 9,6 | 320,0 | 10,9 | 363,3 | 12,7 | 423,3 | 14,6 | 486,7 | 15,8 | 526,7 | 17,4 | 580,0 | 19,7 | 656,7 |
| 10 | | 8,9 | 148,3 | 10,8 | 180,0 | 12,0 | 200,0 | 13,6 | 226,7 | 15,9 | 265,0 | 18,2 | 303,3 | 19,7 | 328,3 | 21,7 | 361,7 | 24,6 | 410,0 |
| 15 | | 10,1 | 112,2 | 12,3 | 136,7 | 13,6 | 151,1 | 15,4 | 171,1 | 18,0 | 200,0 | 20,6 | 228,9 | 22,3 | 247,8 | 24,6 | 273,3 | 27,8 | 308,9 |
| 20 | | 11,0 | 91,7 | 13,3 | 110,8 | 14,8 | 123,3 | 16,8 | 140,0 | 19,5 | 162,5 | 22,4 | 186,7 | 24,3 | 202,5 | 26,8 | 223,3 | 30,3 | 252,5 |
| 30 | | 12,3 | 68,3 | 15,0 | 83,3 | 16,7 | 92,8 | 18,8 | 104,4 | 22,0 | 122,2 | 25,2 | 140,0 | 27,3 | 151,7 | 30,1 | 167,2 | 34,1 | 189,4 |
| 45 | | 13,8 | 51,1 | 16,9 | 62,6 | 18,7 | 69,3 | 21,2 | 78,5 | 24,7 | 91,5 | 28,3 | 104,8 | 30,7 | 113,7 | 33,8 | 125,2 | 38,3 | 141,9 |
| 60 | 1 | 15,0 | 41,7 | 18,3 | 50,8 | 20,3 | 56,4 | 22,9 | 63,6 | 26,8 | 74,4 | 30,7 | 85,3 | 33,3 | 92,5 | 36,7 | 101,9 | 41,5 | 115,3 |
| 90 | 1,5 | 16,8 | 31,1 | 20,5 | 38,0 | 22,7 | 42,0 | 25,7 | 47,6 | 30,0 | 55,6 | 34,4 | 63,7 | 37,3 | 69,1 | 41,1 | 76,1 | 46,5 | 86,1 |
| 120 | 2 | 18,2 | 25,3 | 22,2 | 30,8 | 24,6 | 34,2 | 27,9 | 38,8 | 32,5 | 45,1 | 37,3 | 51,8 | 40,4 | 56,1 | 44,5 | 61,8 | 50,4 | 70,0 |
| 180 | 3 | 20,4 | 18,9 | 24,8 | 23,0 | 27,6 | 25,6 | 31,2 | 28,9 | 36,4 | 33,7 | 41,7 | 38,6 | 45,3 | 41,9 | 49,9 | 46,2 | 56,4 | 52,2 |
| 240 | 4 | 22,1 | 15,3 | 26,9 | 18,7 | 29,9 | 20,8 | 33,8 | 23,5 | 39,4 | 27,4 | 45,2 | 31,4 | 49,0 | 34,0 | 54,0 | 37,5 | 61,1 | 42,4 |
| 360 | 6 | 24,7 | 11,4 | 30,1 | 13,9 | 33,4 | 15,5 | 37,8 | 17,5 | 44,1 | 20,4 | 50,6 | 23,4 | 54,9 | 25,4 | 60,4 | 28,0 | 68,4 | 31,7 |
| 540 | 9 | 27,7 | 8,5 | 33,7 | 10,4 | 37,4 | 11,5 | 42,3 | 13,1 | 49,3 | 15,2 | 56,6 | 17,5 | 61,4 | 19,0 | 67,6 | 20,9 | 76,5 | 23,6 |
| 720 | 12 | 30,0 | 6,9 | 36,5 | 8,4 | 40,5 | 9,4 | 45,8 | 10,6 | 53,4 | 12,4 | 61,3 | 14,2 | 66,4 | 15,4 | 73,2 | 16,9 | 82,9 | 19,2 |
| 1080 | 18 | 33,5 | 5,2 | 40,8 | 6,3 | 45,3 | 7,0 | 51,2 | 7,9 | 59,8 | 9,2 | 68,6 | 10,6 | 74,3 | 11,5 | 81,9 | 12,6 | 92,7 | 14,3 |
| 1440 | 24 | 36,3 | 4,2 | 44,2 | 5,1 | 49,1 | 5,7 | 55,5 | 6,4 | 64,7 | 7,5 | 74,2 | 8,6 | 80,5 | 9,3 | 88,6 | 10,3 | 100,4 | 11,6 |
| 2880 | 48 | 44,0 | 2,5 | 53,5 | 3,1 | 59,4 | 3,4 | 67,2 | 3,9 | 78,4 | 4,5 | 89,9 | 5,2 | 97,5 | 5,6 | 107,4 | 6,2 | 121,5 | 7,0 |
| 4320 | 72 | 49,2 | 1,9 | 59,8 | 2,3 | 66,5 | 2,6 | 75,1 | 2,9 | 87,7 | 3,4 | 100,6 | 3,9 | 109,0 | 4,2 | 120,1 | 4,6 | 135,9 | 5,2 |
| 5760 | 96 | 53,2 | 1,5 | 64,8 | 1,9 | 72,0 | 2,1 | 81,4 | 2,4 | 94,9 | 2,7 | 108,9 | 3,2 | 118,0 | 3,4 | 130,0 | 3,8 | 147,2 | 4,3 |
| 7200 | 120 | 56,6 | 1,3 | 68,9 | 1,6 | 76,5 | 1,8 | 86,5 | 2,0 | 100,9 | 2,3 | 115,8 | 2,7 | 125,5 | 2,9 | 138,3 | 3,2 | 156,5 | 3,6 |
| 8640 | 144 | 59,5 | 1,1 | 72,5 | 1,4 | 80,5 | 1,6 | 91,0 | 1,8 | 106,1 | 2,0 | 121,8 | 2,3 | 132,0 | 2,5 | 145,4 | 2,8 | 164,6 | 3,2 |
| 10080 | 168 | 62,1 | 1,0 | 75,6 | 1,3 | 84,0 | 1,4 | 94,9 | 1,6 | 110,8 | 1,8 | 127,1 | 2,1 | 137,7 | 2,3 | 151,7 | 2,5 | 171,8 | 2,8 |

Starkniederschlagshöhen und -spenden gemäß KOSTRA-DWD-2020

Rasterfeld 166100

(Zeile 166, Spalte 100)

Örtliche Unsicherheiten in Abhängigkeit von Wiederkehrzeit T und Dauerstufe D

| Dauerstufe D | | Wiederkehrzeit T | | | | | | | | |
|--------------|-----|------------------|-----|-----|-----|------|------|------|------|-------|
| | | 1 a | 2 a | 3 a | 5 a | 10 a | 20 a | 30 a | 50 a | 100 a |
| min | Std | ± % | ± % | ± % | ± % | ± % | ± % | ± % | ± % | ± % |
| 5 | | 15 | 16 | 17 | 18 | 18 | 19 | 20 | 20 | 21 |
| 10 | | 18 | 19 | 20 | 21 | 22 | 23 | 23 | 24 | 24 |
| 15 | | 19 | 20 | 21 | 22 | 23 | 24 | 25 | 25 | 26 |
| 20 | | 19 | 21 | 22 | 23 | 24 | 25 | 25 | 25 | 26 |
| 30 | | 19 | 21 | 22 | 23 | 24 | 25 | 25 | 25 | 26 |
| 45 | | 18 | 20 | 21 | 22 | 23 | 24 | 25 | 25 | 26 |
| 60 | 1 | 18 | 20 | 20 | 21 | 23 | 23 | 24 | 24 | 25 |
| 90 | 1,5 | 17 | 18 | 19 | 20 | 21 | 22 | 23 | 23 | 24 |
| 120 | 2 | 16 | 17 | 18 | 19 | 21 | 21 | 22 | 22 | 23 |
| 180 | 3 | 14 | 16 | 17 | 18 | 19 | 20 | 20 | 21 | 22 |
| 240 | 4 | 13 | 15 | 16 | 17 | 18 | 19 | 19 | 20 | 21 |
| 360 | 6 | 12 | 14 | 15 | 16 | 17 | 18 | 18 | 19 | 19 |
| 540 | 9 | 11 | 13 | 13 | 14 | 15 | 16 | 17 | 17 | 18 |
| 720 | 12 | 10 | 12 | 13 | 14 | 15 | 15 | 16 | 16 | 17 |
| 1080 | 18 | 10 | 11 | 12 | 13 | 13 | 14 | 15 | 15 | 16 |
| 1440 | 24 | 9 | 10 | 11 | 12 | 13 | 14 | 14 | 14 | 15 |
| 2880 | 48 | 10 | 10 | 10 | 11 | 12 | 12 | 13 | 13 | 13 |
| 4320 | 72 | 10 | 10 | 11 | 11 | 11 | 12 | 12 | 13 | 13 |
| 5760 | 96 | 11 | 11 | 11 | 11 | 12 | 12 | 12 | 12 | 13 |
| 7200 | 120 | 12 | 11 | 11 | 12 | 12 | 12 | 12 | 13 | 13 |
| 8640 | 144 | 12 | 12 | 12 | 12 | 12 | 12 | 12 | 13 | 13 |
| 10080 | 168 | 13 | 12 | 12 | 12 | 12 | 13 | 13 | 13 | 13 |

Parameter für abweichende T und D

Lokationsparameter ξ (Xi)

15,11443099

Skalenparameter α (Alpha)

4,56096443

Formparameter κ (Kappa)

-0,1

1. Koutsoyiannis-Parameter θ (Theta)

0,00798111

2. Koutsoyiannis-Parameter η (Eta)

0,72398669

Parameter für dauerstufenübergreifende Extremwertschätzung nach KOUTSOYIANNIS et al. 1998.

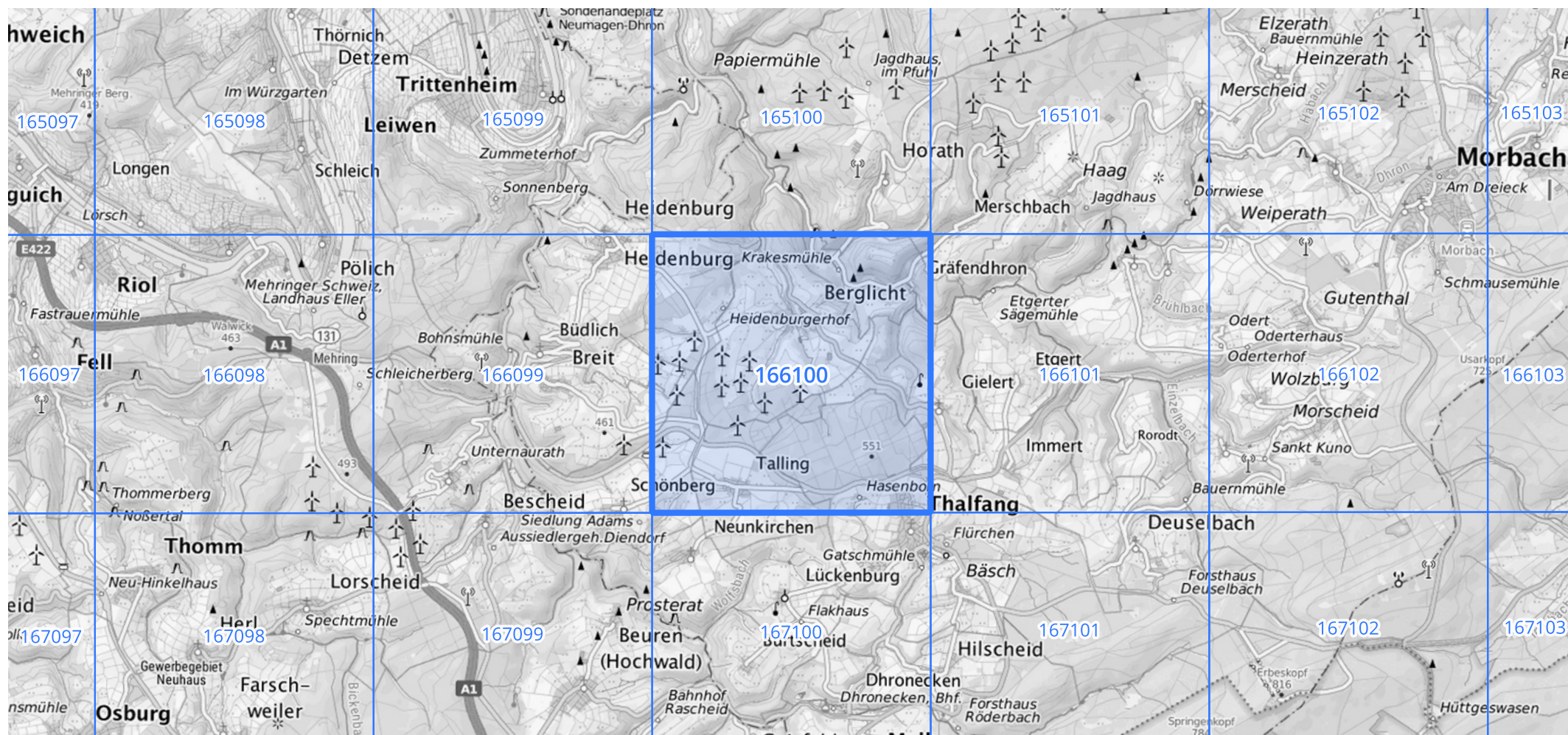
Siehe auch Anwendungshilfe zu KOSTRA-DWD-2020 des Deutschen Wetterdienstes.

Starkniederschlagshöhen und -spenden gemäß KOSTRA-DWD-2020

Rasterfeld 166100

(Zeile 166, Spalte 100)

Übersichtskarte des Rasterfeldes 166100, M 1 : 100 000



Quelle Rasterdaten: KOSTRA-DWD-2020 des Deutschen Wetterdienstes, Stand 12/2022.

Seite 3 von 3

Kartendarstellung: © Bundesamt für Kartographie und Geodäsie (2023), Datenquellen: https://sgx.geodatenzentrum.de/web_public/gdz/datenquellen/Datenquellen_TopPlusOpen.html

Für die Richtigkeit und Aktualität der Angaben wird keine Gewähr übernommen. Erstellt 01/2023.